

Nombres magiques

- Un **noyau magique** est un noyau ayant un **nombre magique** de neutrons ou de protons
- Dans un noyau magique, les neutrons ou les protons ne forment que des **couches complètes**
- Nombres magiques:

... observés	2	8	20	28	50	82	126
... prédits par potentiel rectangulaire	2	8	20	34	40	58	92
... prédits par potentiel harmonique	2	8	20		40	70	112

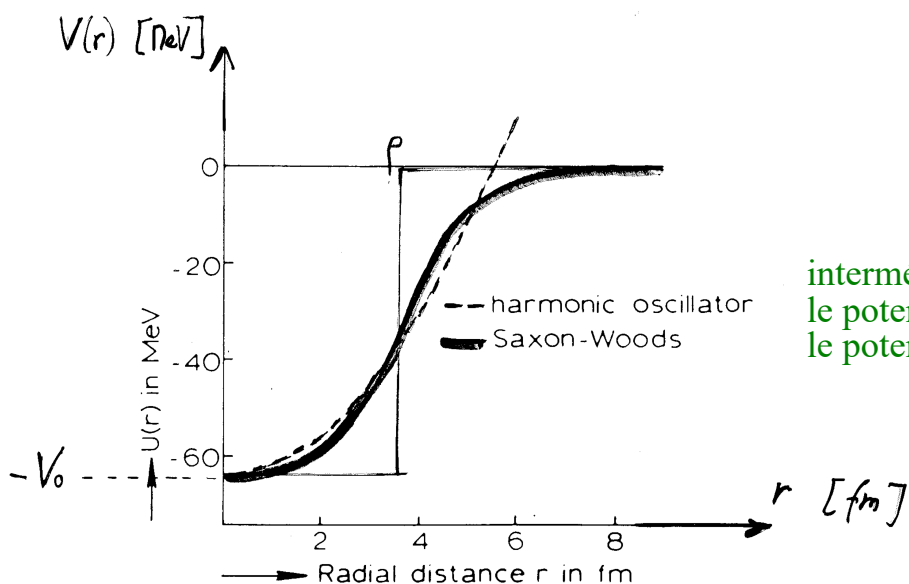
- Question:
 - quel est le potentiel $V(r)$ qui peut prédire correctement tous les nombres magiques ?

Potentiel de Saxon-Woods

- Déterminé empiriquement à partir de mesures de densité nucléaire

$$V(r) = -\frac{V_0}{1 + \exp(\mu(r - \rho))}$$

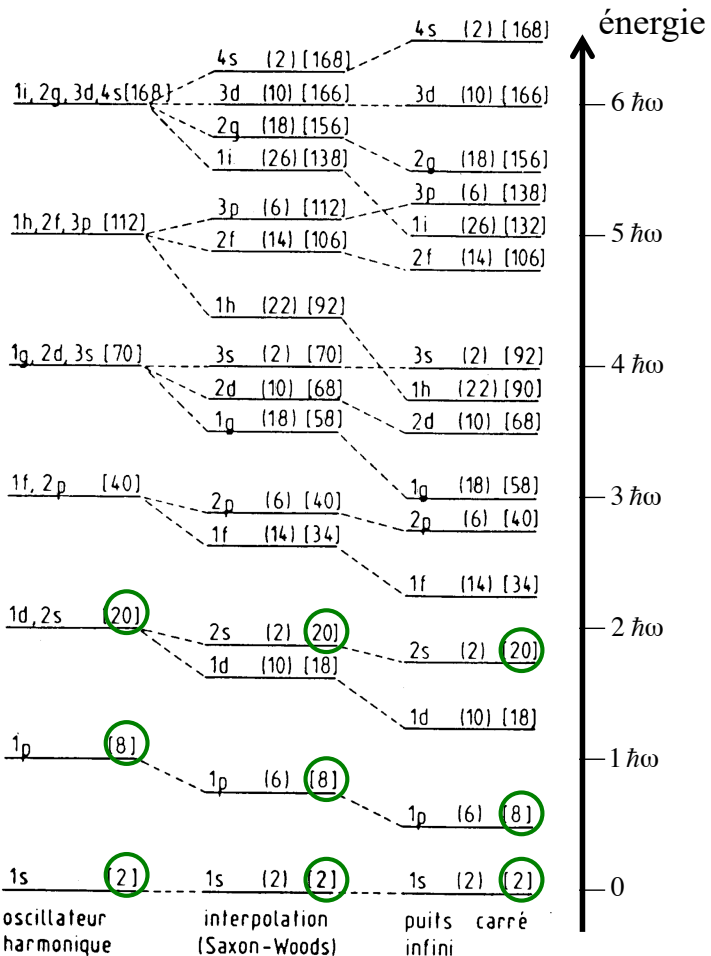
$$\begin{aligned} V_0 &= 50-60 \text{ MeV} \\ \rho &= r_0 A^{1/3}, \quad r_0 \sim 1.2 \text{ fm} \\ \mu &= 1-2 \text{ fm}^{-1} \end{aligned}$$



intermédiaire entre
le potentiel harmonique et
le potentiel rectangulaire

Spectre avec potentiel de Saxon-Woods

- Nombres magiques reproduits
 - 2, 8, 20
- Nombres magiques pas reproduits
 - 28, 50, 82, 126



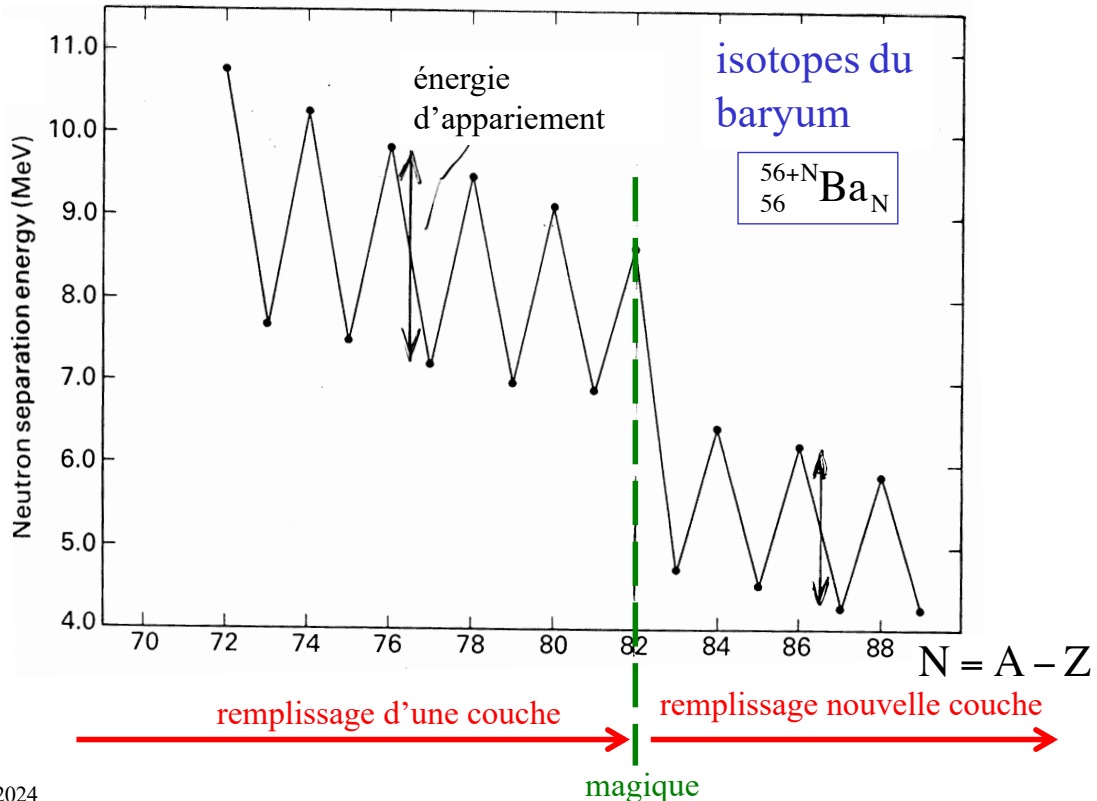
Modèle en couches

Modèle en couches de la physique nucléaire
 = modèle à nucléon indépendant permettant de reproduire les nombres magiques

- Evidences expérimentales en faveur des nombres magiques
 - **2, 8, 20, 28, 50, 82, 126**
- Potentiel permettant de reproduire les nombres magiques
 - potentiel non-central, avec couplage spin-orbite
- Prédictions du modèles en couches et comparaison avec les mesures expérimentales
 - spin-parité des niveaux fondamentaux et excités
 - moment magnétique dipolaire
 - moment électrique quadrupolaire

Energie de séparation du neutron le moins lié

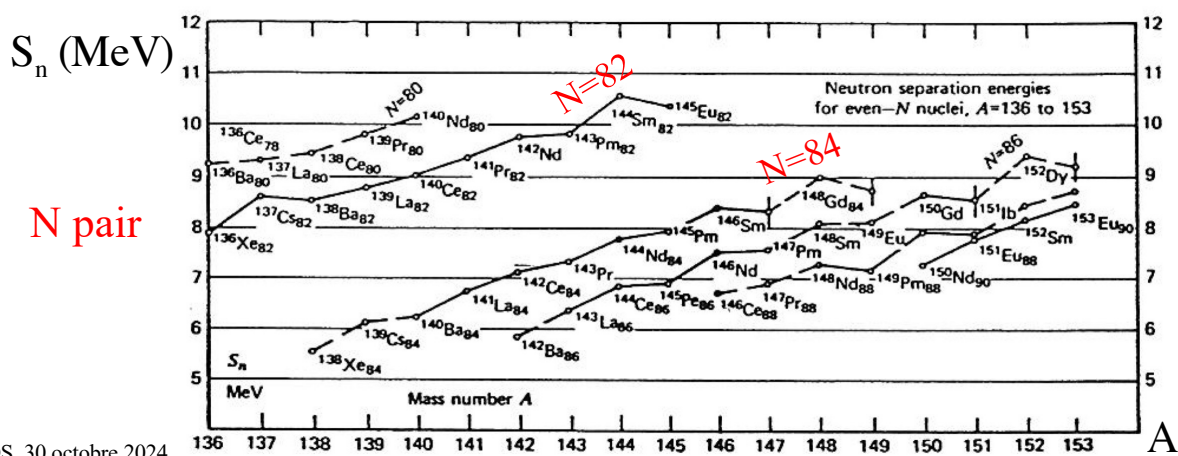
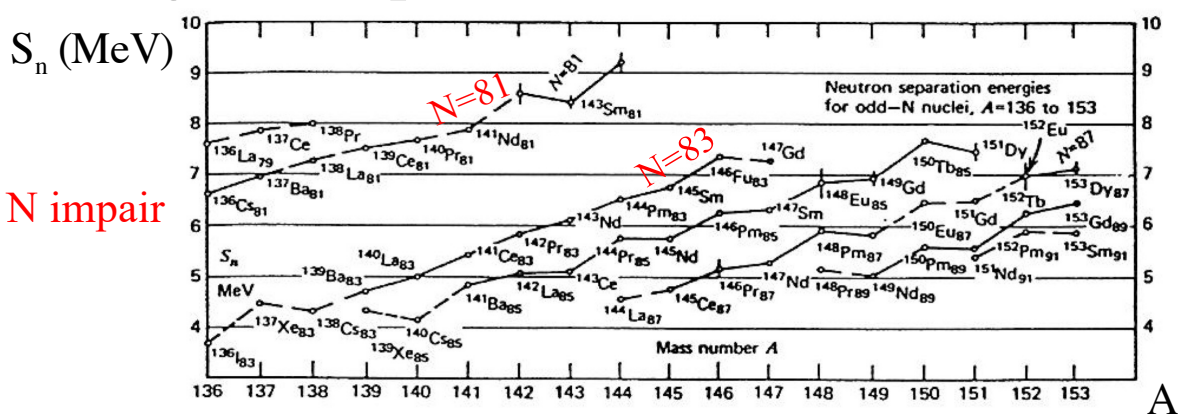
$$S_n = B(Z, A) - B(Z, A - 1)$$



OS, 30 octobre 2024

108

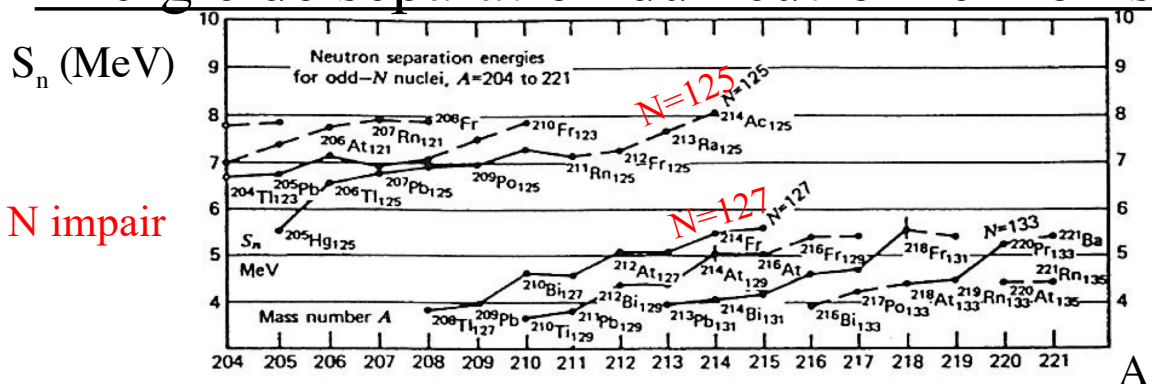
Energie de séparation du neutron le moins lié



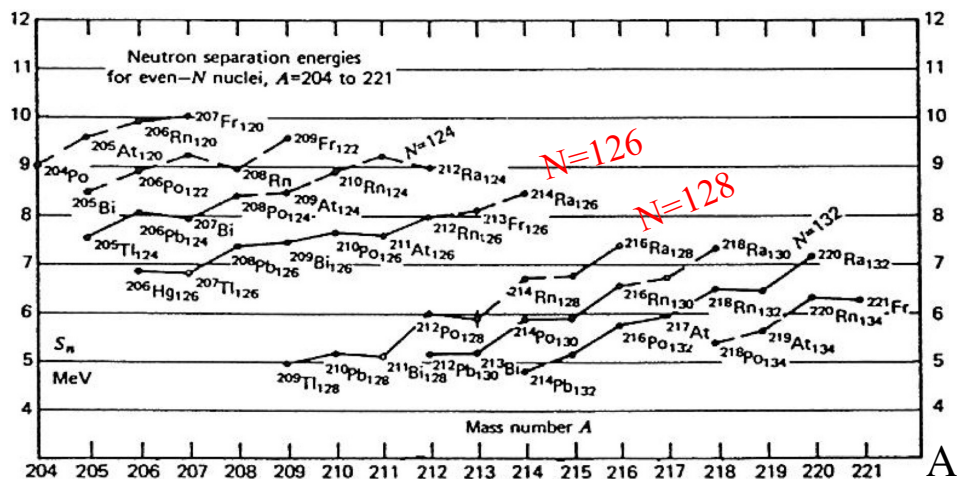
OS, 30 octobre 2024

109

Energie de séparation du neutron le moins lié



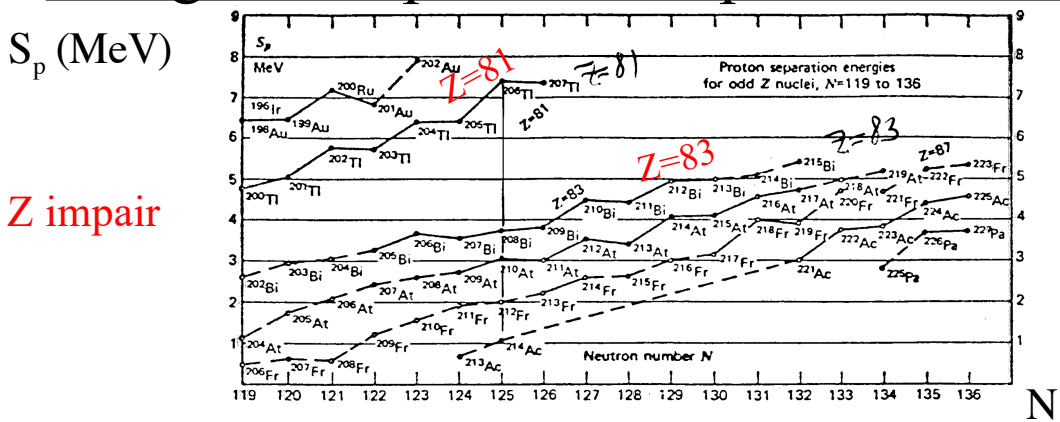
S_n (MeV)



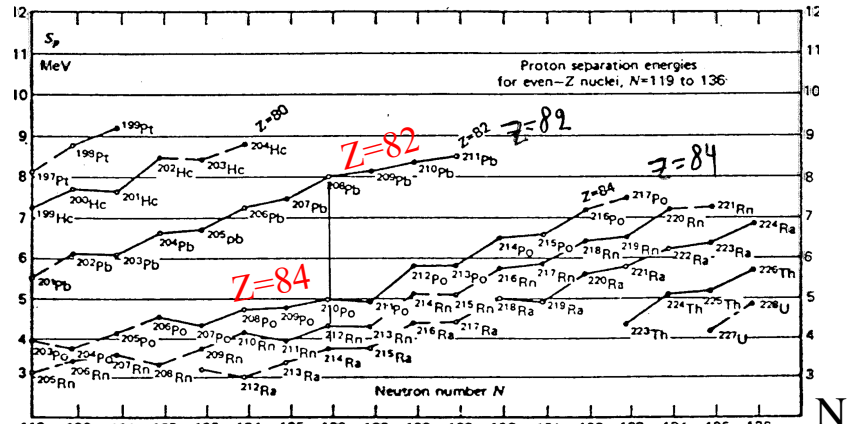
OS, 30 octobre 2024

110

Energie de séparation du proton le moins lié



S_p (MeV)

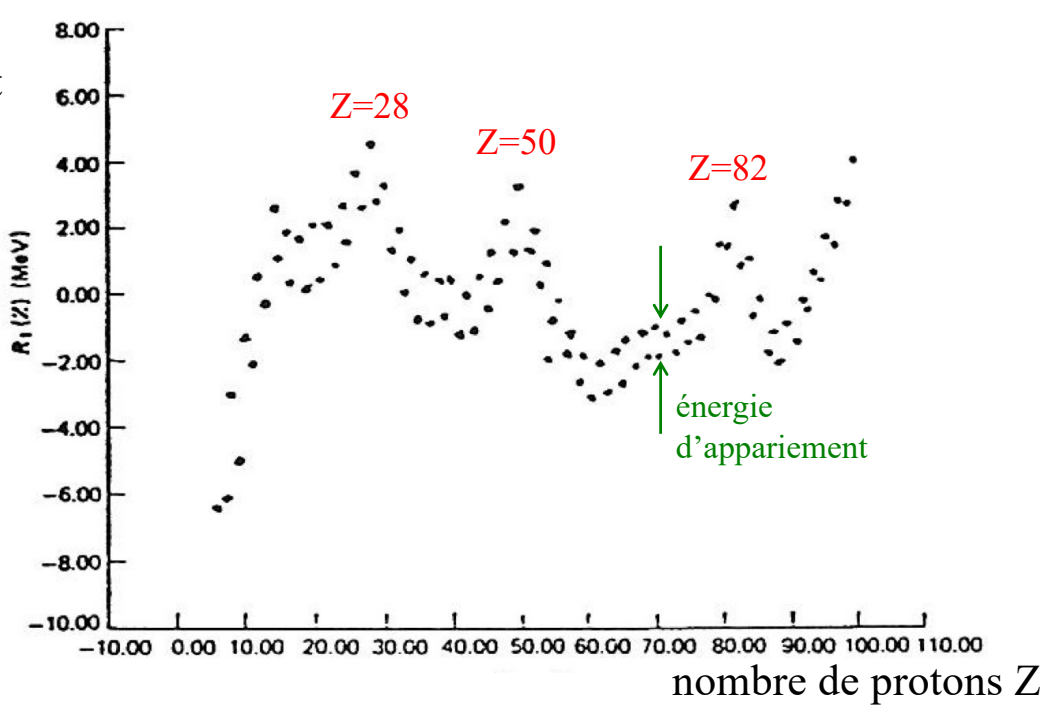


OS, 30 octobre 2024

111

Irrégularités de l'énergie de liaison

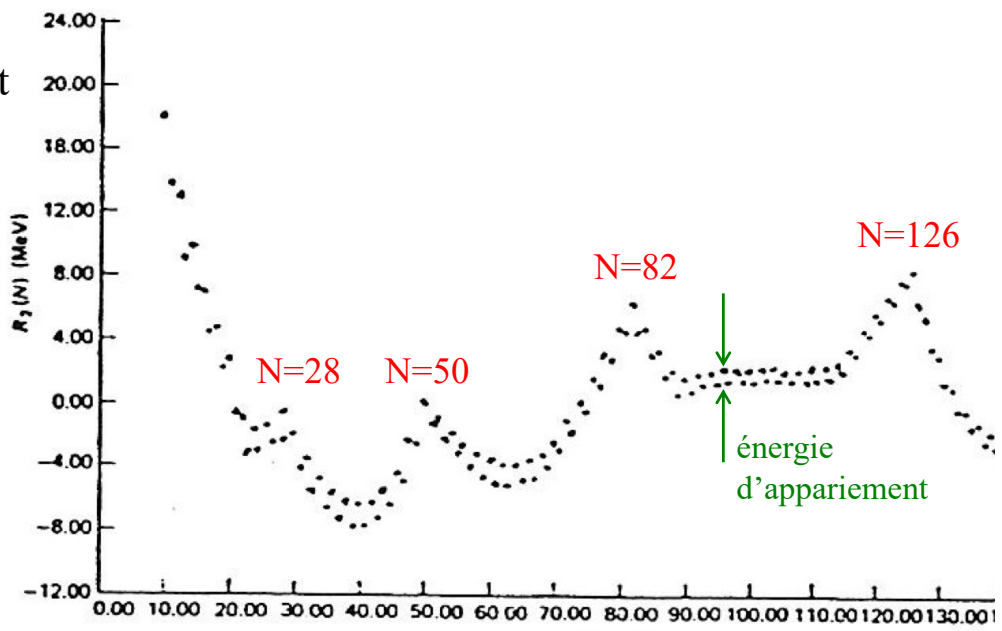
résidu =
 $B(Z,A) - \text{fit}$
en MeV



fit = polynôme de degré 2 en A et Z

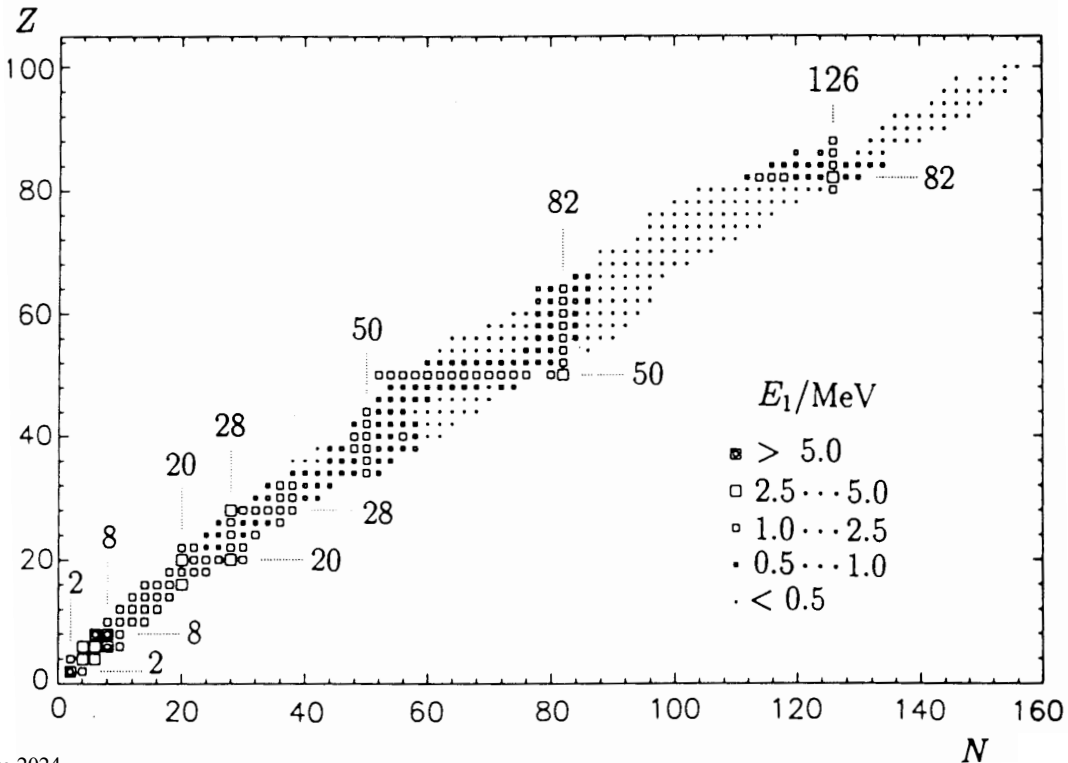
Irrégularités de l'énergie de liaison

résidu =
 $B(Z,A) - \text{fit}$
en MeV

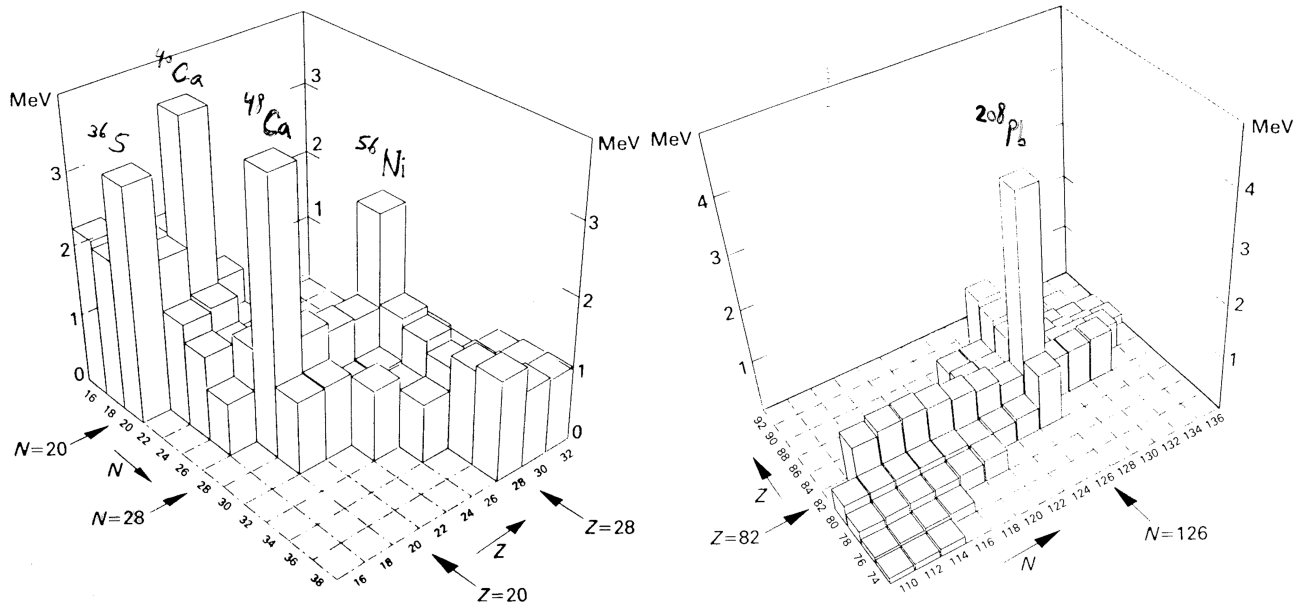


fit = polynôme de degré 2 en A et Z

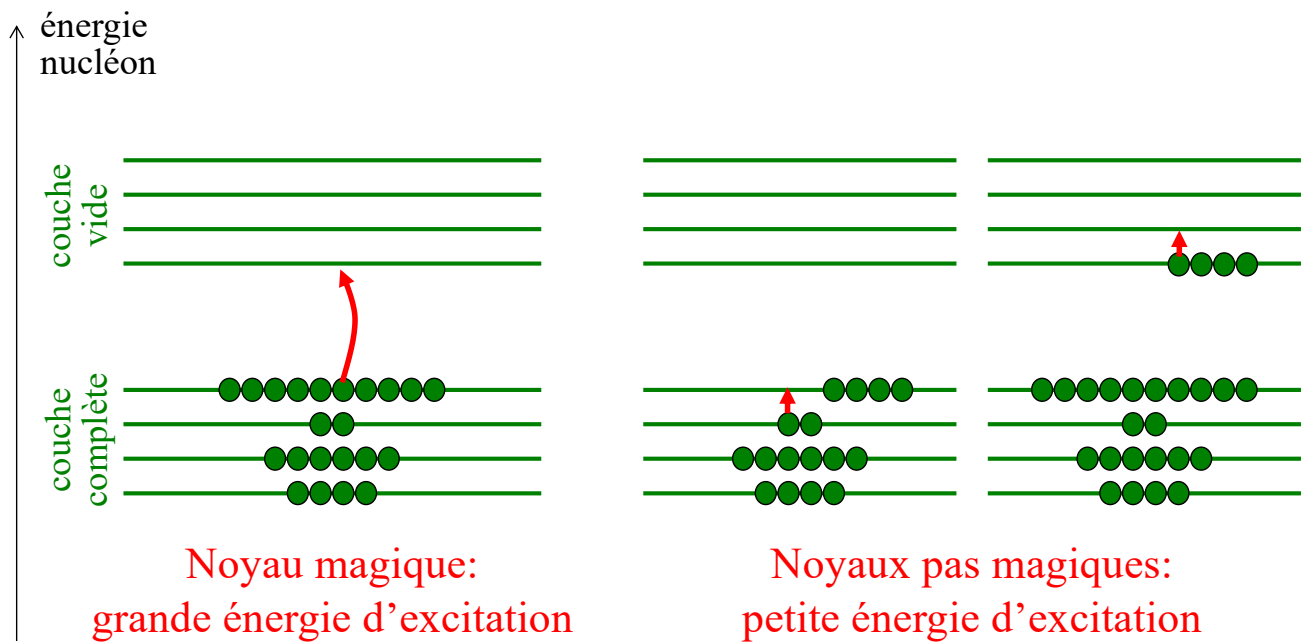
Energie d'excitation du premier niveau excité des noyaux pair-pair



Energie d'excitation du premier niveau excité des noyaux pair-pair



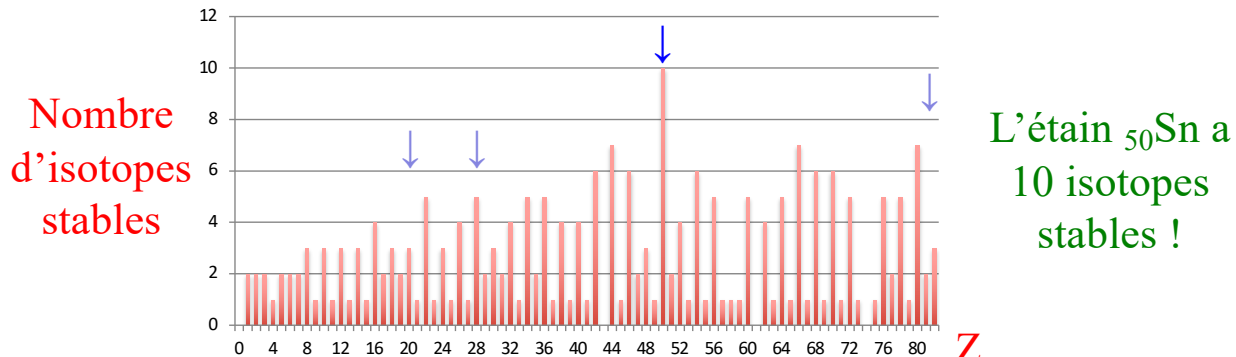
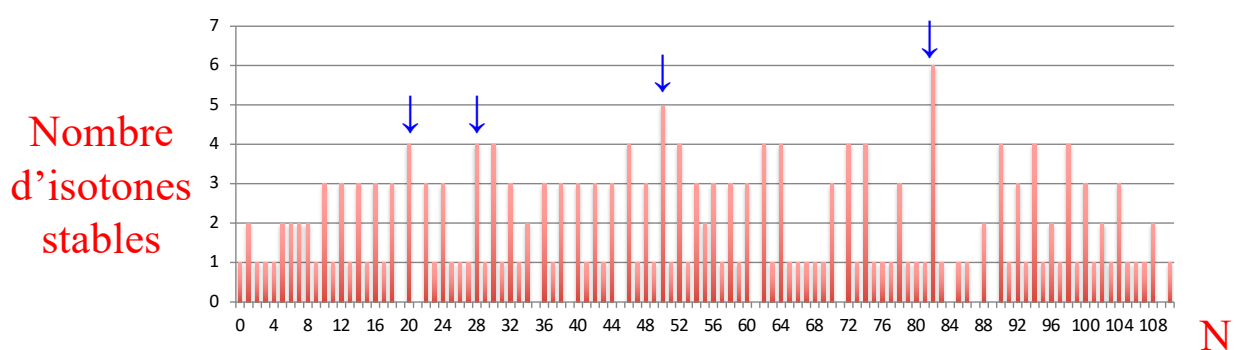
Energie d'excitation du premier niveau excité des noyaux pair-pair



Nombre d'isotones ou isotopes stables

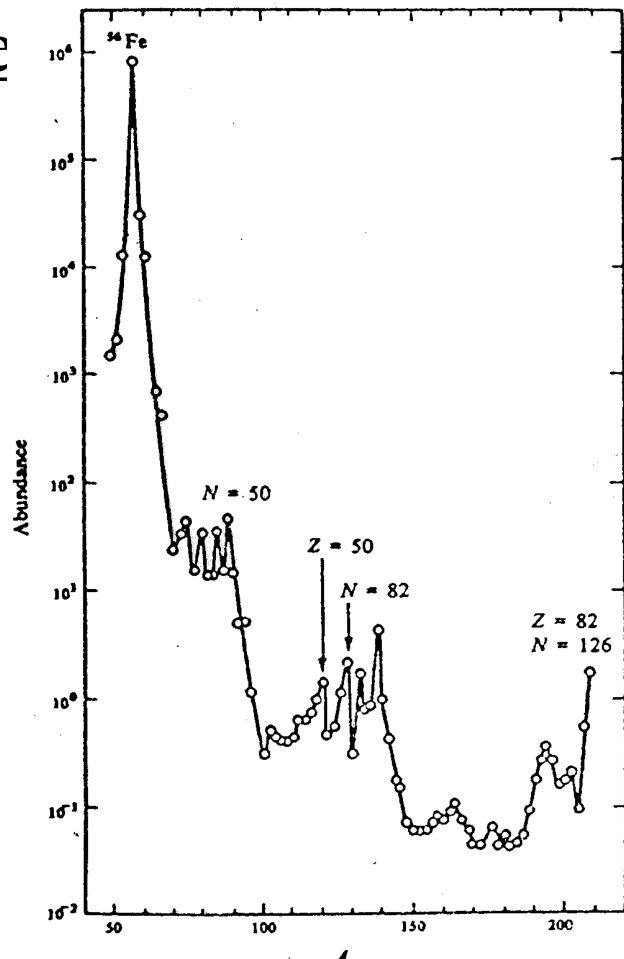
isotones \leftrightarrow même N
isotopes \leftrightarrow même Z

en général plus élevé pour les noyaux magiques

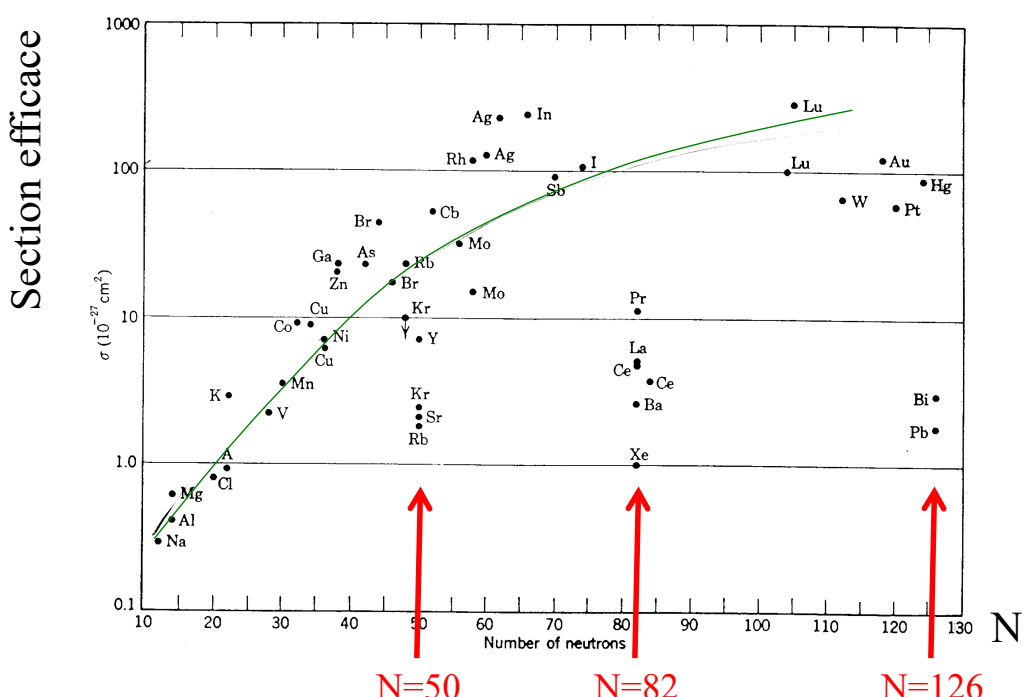
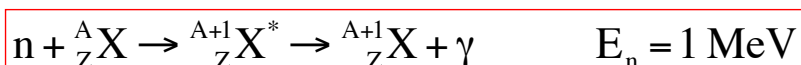


Abondance naturelle relative des noyaux

^1H : 93%
 ^4He : 7%
 autres: 0.1%

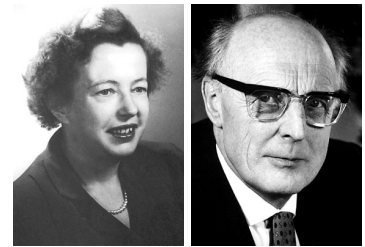


Capture radiative des neutrons lents



Couplage spin-orbite

- Introduit (sur suggestion de Fermi) en 1949 par
 - Maria Goeppert-Mayer (Chicago)
 - J. Hans D. Jensen (Heidelberg)
- Hamiltonien du nucléon indépendant:



$$H = -\frac{\hbar^2}{2m} \vec{\nabla}^2 + V(r) + \xi(r) \vec{\ell} \cdot \vec{s}$$

↓ ↓
 potentiel central interaction
 (p. ex. Saxon-Woods) spin-orbite

$\vec{\ell}$ = moment cinétique orbital du nucléon

\vec{s} = spin du nucléon

- Les fonctions propres de $\vec{\ell}^2$, ℓ_z , \vec{s}^2 , s_z et $H_0 = -\frac{\hbar^2}{2m} \vec{\nabla}^2 + V(r)$

$$\psi_{nlm_s}(r, \theta, \phi) = R_{nl}(r) Y_l^m(\theta, \phi) \chi_s^{m_s}$$

ne sont pas des fonctions propres de H car

$$[H, \ell_z] = \xi(r) [\vec{\ell} \cdot \vec{s}, \ell_z] \neq 0 \quad \text{et} \quad [H, s_z] = \xi(r) [\vec{\ell} \cdot \vec{s}, s_z] \neq 0$$

Couplage spin-orbite (suite)

- Moment cinétique total du nucléon indépendant:
 - les opérateurs H , $\vec{\ell}^2$, \vec{s}^2 , \vec{j}^2 et j_z commutent entre eux
 - on cherche donc des fonctions stationnaires ψ telles que

$$\begin{aligned} H\psi &= E\psi \\ \vec{\ell}^2\psi &= \ell(\ell+1)\hbar^2\psi \\ \vec{s}^2\psi &= s(s+1)\hbar^2\psi \\ \vec{j}^2\psi &= j(j+1)\hbar^2\psi \\ j_z\psi &= m\hbar\psi \end{aligned}$$

$$\begin{aligned} \ell &= 0, 1, 2, \dots \\ s &= \frac{1}{2} \\ j &= \ell \pm \frac{1}{2} \\ m &= -j, -j+1, \dots, j-1, j \end{aligned}$$

- Valeurs propres $\lambda_{\ell j}$ de $\vec{\ell} \cdot \vec{s}$: $\vec{\ell} \cdot \vec{s} \psi = \lambda_{\ell j} \psi$

$$\lambda_{\ell j} = \frac{1}{2}\hbar^2 [j(j+1) - \ell(\ell+1) - s(s+1)] = \begin{cases} +\frac{1}{2}\hbar^2\ell & \text{si } j = \ell + \frac{1}{2} \\ -\frac{1}{2}\hbar^2(\ell+1) & \text{si } j = \ell - \frac{1}{2} \end{cases}$$

Couplage spin-orbite (suite)

- Nouvelle équation radiale

$$\left[\frac{d}{dr} \left(r^2 \frac{d}{dr} \right) + \frac{2mr^2}{\hbar^2} (E - V(r) - \xi(r)\lambda_{lj}) - \ell(\ell+1) \right] R(r) = 0$$

 - pour chaque $\ell > 0$, deux équations radiales différentes ($j = \ell + \frac{1}{2}$ et $j = \ell - \frac{1}{2}$)
 - pour chaque couple ℓj , plusieurs solutions numérotées $n = 1, 2, \dots$ par ordre croissant d'énergie
- « Splitting » (clivage) des niveaux pour $\ell > 0$:

